

## 복사열을 이용한 소나무와 굴참나무 낙엽의 연소특성 분석

박형주, 김웅식\*, 김장환\*, 김동현\*\*, 이명보\*\*

호원대학교 소방행정학부, 호서대학교 안전시스템공학과, 국립산림과학원 산림환경부

## A Combustion Characteristic Analysis of Quercus variabilis and Pinus densiflora fallen leaves Using Radiation Heat Flux

Hyung-Ju Park, Eung-Sik Kim\*, Jang-Hwan Kim\*,

Dong-Hyun Kim\*\*, Myung-Bo Lee\*\*

*Division of Fire Service Administration, Howon University*

*\*Department of Safety System Engineering, Hoseo University*

*\*\*Department of Forest Fire Environment, Korea Forest Research Institute*

### 1. 서 론

산불의 진행상태와 피해의 양상에 있어 가장 대표적인 형태인 지표화는 지표상에 존재하는 가연물, 즉 잡초, 낙엽등의 지피물과 지상관목, 어린나무 등이 연소하는 형태로 지표면에 가연물의 양이 많을 경우 지표화로부터 수간화, 수관화로 전이될 수 있다. 지표화 연료에 영향을 주는 인자들은 연료의 함수량, 연료물량, 밀도, 연료의 두께 등이 있다. 이를 인자들에 따라 산불의 발생강도 및 산불 진행 속도에 직접적인 영향을 미칠 수 있다. 지표화는 산불 확산 단계에 있어 초기단계로 가장 기본적으로 연구 되어야 할 대상이지만 현재까지는 국내에서 이에 대한 방법론 및 실험 데이터는 산발적으로 보고되고 있으며, 이의 범위도 매우 제한적이다.

따라서 본 연구에서는 산림화재의 종합위험등급화와 산불위험예보에 필요한 산불 위험지수 산정에 있어 매우 중요한 인자인 연료에 대한 특성 기초 Data를 측정하기 위해 침엽수종인 소나무와 활엽수종인 굴참나무 낙엽을 건조시킨 후 분쇄 한 것을 시료로 사용하고, Oxygen Bomb Calorimeter를 이용하여 각 시료에 대한 연소열량 (cal/g) 분석과 산불 화재시 발생되는 복사열에 대한 영향을 평가하기 위해 Mass Loss Calorimeter를 이용하여 일정한 외부 복사열원이 존재하는 상태에서 각 시료에 대한 연소특성(Time to ignition, Critical heat flux, Ignition temperature, Mass loss rate 등)을 측정하였다.

### 2. 실험장치 및 실험방법

#### 2.1 실험장치

##### (1) Oxygen Bomb Calorimeter

시료에 대한 단위 중량당 연소열(cal/g)을 측정하기 위해 Fig. 1과 같이 Oxygen

Bomb Calorimeter(Parr 1261)를 사용하였다.



Fig. 1 Photograph of experimental apparatus for Oxygen Bomb Calorimeter

## (2) Mass Loss Calorimeter

일정한 Heat Flux( $7\sim50\text{ kW/m}^2$ )에서 각 시료의 연소특성(Time to ignition, Critical heat flux, Ignition temperature, Mass loss rate 등)을 측정하기 위해 Fig. 2와 같이 ISO 5660(Fire tests - Reaction to Fire, part 1)을 만족하는 Mass Loss Calorimeter(FTT)를 사용하였다.

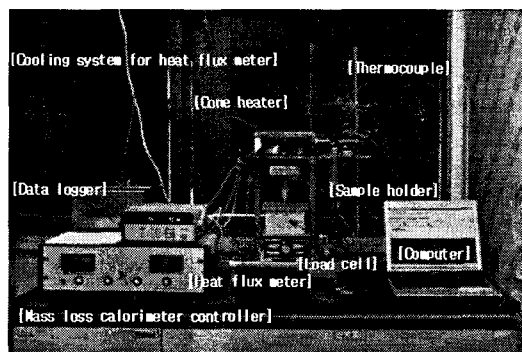


Fig. 2 Photograph of experimental apparatus for Mass Loss Calorimeter

### 2.2 실험시료

산불의 한 형태인 지표화의 연소 물질인 낙엽의 가장 보편적인 소나무 낙엽과 굴참나무 낙엽을 야산에서 채집하고, 45°C의 건조기에서 건조시킨 후 분쇄 전/후의 시료를 사용하여 연소열과 외부 복사열의 변화에 따른 연소특성을 분석하였다.

Oxygen Bomb Calorimeter를 이용한 연소열 측정에 사용된 시료의 크기와 함수율은 Table 1에 나타내었다. 함수율은 일정량의 시료를 105°C의 건조기에서 장시간 건조시키면서 시료의 중량을 4시간 간격으로 더 이상의 중량 변화가 없을 때 까지 측정하고, 다음의 식(1)을 이용하여 계산한다.

$$MC[\%] = \frac{W_m - W_d}{W_d} \times 100 \quad (1)$$

여기서, MC[%] : Moisture content[%],  $W_m$  : weight of sample before ovendry,  $W_d$  : weight of sample after ovendry 이다.

Table 1. Oxygen Bomb Calorimeter를 이용한 연소열 측정에 사용된 낙엽의 함수율과 크기

Type of sample	Quercus variabilis		Pinus densiflora	
	MC[%]	Size	MC[%]	Size
Before grinding	10.21	2 mm	8.54	2 mm
After grinding	9.27	150 μm	7.38	150 μm

Mass Loss Calorimeter를 이용한 일정한 Heat flux에서 각 시료에 대한 연소특성을 측정하기 위해 사용된 시료의 크기는 2.0~710μm이며, 함수율은 굴참나무 낙엽은 3.74%, 소나무 낙엽은 3.72%이다. 각 시료는 45°C의 건조기에서 168h 동안 건조시킨 후 막서기를 이용하여 분쇄하고, mesh를 이용하여 분류한 후 사용하였다.

### 2.3 실험방법

#### (1) 연소열 측정

각 시료의 단위 중량당 연소열은 Fig. 1에 나타낸 Oxygen Bomb Calorimeter를 이용 측정하였다. 시료는 Table 1에 나타낸 것과 같이 분쇄 전/후의 시료를 0.5~1.0g씩 사용하였다. 점화선의 재질은 Nickel (길이 10 cm)이며, 고압 Bomb 내에 충전되는 산소의 순도는 99.5%이며, 압력은 30kg/cm<sup>2</sup>으로 설정한 후 실험하였다.

#### (2) 연소특성 측정

일정한 Heat flux에서의 연소특성은 Fig. 2에 나타낸 Mass Loss Calorimeter를 이용하여 측정하였으며, 시료는 건조 후 분쇄한 굴참나무 낙엽과 소나무 낙엽을 28g씩 사용하였다.

Heat flux은 Mass Loss Calorimeter controller를 이용하여 설정온도까지 상승시킨 후 설정온도에서 방출되는 복사열량을 Medtherm 사의 Heat flux meter를 이용하여 측정한다. 방출되는 복사열량( $7\sim 50\text{kW/m}^2$ )이 일정해 지면 100mm x 100mm x 12mm 크기의 시료 용기에 측정하고자 하는 시료를 넣고 Cone heater 하부로부터 25.0mm(약 1 inch)의 위치에 놓고 초기계를 이용하여 점화시간, 화염존재시간, 소염후 연소시간 등을 측정하였다. 또한 점화온도와 화염의 온도 변화를 측정하기 위해 시료 표면과 상부(시료 표면으로부터 100mm, 200mm)의 온도변화를 K-type(ψ1.0mm)의 열전대를 이용하여 매 1초 간격으로 온도를 측정하였으며, 시험시간 동안 시료의 중량변화는 매 1초 간격으로 Load cell을 이용하여 측정하였다. 이때 각종 Data는 Data logger를 이용하여 Computer에 자동으로 저장된다.

## 3. 결과 및 토론

### 3.1 연소열(Combustion heat)

소나무 낙엽과 굴참나무 낙엽을 이용한 연소열을 측정한 결과는 Table 2, 3에 나타

내었다.

Table 2는 소나무 낙엽과 굴참나무 낙엽의 단위 중량당의 연소열로 분쇄 전/후의 연소열량에는 큰 차이가 없는 것으로 측정되었으나, 소나무와 굴참나무의 단위 중량당 연소열은 평균 약 450cal/g의 차이가 남을 알 수 있었다. 이로부터 산불 발생시 굴참나무가 군락을 이루고 있는 산림지역보다 소나무가 군락을 이루고 있는 산림지역에서 더 산불의 위험성 및 피해의 정도가 높다는 것을 예측할 수 있다.

Table 3은 소나무 낙엽과 굴참나무 낙엽의 각 부위별 단위 중량당 연소열을 측정한 것으로 각 낙엽에 있어서 그물망(굴참나무 낙엽)과 꼈지(소나무 낙엽)가 잎 부분보다 연소열이 낮게 측정되었다. 이로부터 산불 발생시 화염전파의 열원 공급원으로는 낙엽의 잎 부분이 연소되면서 발생되는 열에 의해 더 영향을 받는다는 것을 예측할 수 있다.

Table 2. 소나무 낙엽과 굴참나무 낙엽의 단위 중량당 연소열

Type of sample	<i>Quercus variabilis</i> [cal/g]	<i>Pinus densiflora</i> [cal/g]
Before grinding	4,850	5,231
After grinding	4,853	5,367

Table 3. 소나무 낙엽과 굴참나무 낙엽의 각 부위별 연소열

Type of sample	<i>Quercus variabilis</i> [cal/g]	<i>Pinus densiflora</i> [cal/g]
전체	4,850	5,231
잎	4,814	5,147
그물망(꺼지)	4,605	4,669

### 3.2 연소특성 측정

Incident heat flux에서의 분쇄소나무 낙엽과 굴참나무 낙엽에 대한 Ignition time, Ignition temperature, Mass loss rate 측정 결과는 다음과 같다.

#### (1) 점화시간(Ignition time)

Fig. 3은 각 시료에 대한 외부 복사열원과 평균 점화시간과의 관계를 나타낸 것으로, 그래프 (a)는 복사열원에 따른 평균 점화시간을, 그래프 (b)는 복사열원과  $1/\sqrt{t_{ig}}$ 의 관계를 나타낸 것이다.

점화시간은 단계에서 각 외부 복사열원의 단계에서 electric spark에 의해 시료의 표면에서 점화가 발생할 때까지의 시간으로 3회의 측정 결과에 대한 평균값을 사용하였다. Fig. 3 (a)에 나타낸 바와 같이 점화시간은 외부 복사열원이 임계열속에 가까워질수록 무한대( $\infty$ )로 접근하고, 외부 복사열원이 임계열속보다 무한이 커질 경우 0으로 접근함을 알 수 있다. 즉,  $\dot{q}_i \rightarrow \dot{q}_\sigma$  일 때  $t_{ig} \rightarrow \infty$ 이고,  $\dot{q}_i \gg \dot{q}_\sigma$  일 때  $t_{ig} \rightarrow 0$ 으로 수렴함을 알 수 있다.

점화시간에 있어서 굴참나무 낙엽과 소나무 낙엽 간의 차이는 작았으나, 일반적으로 활엽수가 더 빨리 점화가 되리라 예상되었으나, 실험결과는 소나무 낙엽에서 조금 더 일찍 점화가 된 것을 알 수 있었다. 이는 낙엽의 표면적의 크기가 거의 일정해지기

때문인 것으로 판단된다. 또한 두 가지 시료 모두  $9\text{ kW/m}^2$  미만의 외부 복사열원에서 점화가 발생하지 않았다.

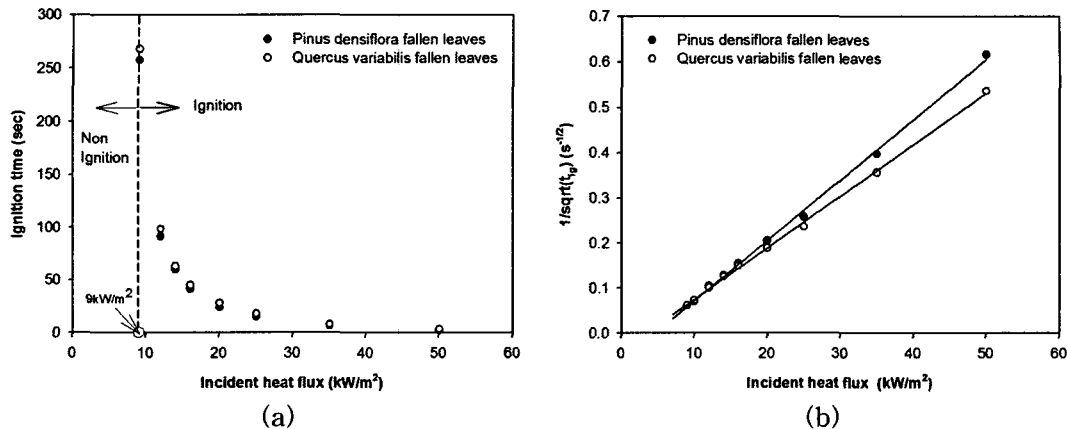


Fig. 3 외부 복사열과 점화시간과의 관계

### (2) 점화온도

점화온도는 주어진 외부 복사열원에서 시험 시료의 노출된 표면 위에 위치한 1.0mm의 직경을 갖는 K type의 열전대를 이용하여 점화가 되는 순간의 온도를 측정하였다.

Fig. 4는 외부 복사열과 점화온도와의 관계를 나타낸 그래프로 일반적으로 외부 복사열원이 증가함에 따라 점화온도가 낮아짐을 알 수 있으나, 외부 복사열원이  $9\text{ kW/m}^2$ 일 때는 점화온도가 낮아진 현상을 관찰할 수 있다. 이는 외부 복사열원이 임계열속에 가까워질수록 점화 발생의 원인이 외부 복사열원보다는 시료내부의 열 축적에 의한 것이라고 판단된다.

Fig. 5는 외부 복사열원이  $25\text{ kW/m}^2$  일 때 연소시간 동안 표면온도의 변화를 나타낸 것으로, 침엽수종인 소나무 낙엽이 더 오랜 시간동안 고온을 유지함을 알 수 있다. 이는 소나무가 밀집되어 있는 곳에서 발생한 산불의 온도와 그 지속시간이 굴참나무가 밀집되어 있는 곳에서 보다 더 길어질 수 있다는 것을 예측할 수 있다.

### (3) 질량감소속도

Fig. 5는 외부 복사열원이  $25\text{ kW/m}^2$  일 때 연소시간의 경과에 따른 질량감소속도를, Fig. 6은 외부 복사열과 최대 질량감소속도와의 관계를 나타낸 것이다. 두 시료에 대한 질량감소속도를 비교해 보면 활엽수종인 굴참나무 낙엽에서 최대질량감소속도와 평균 질량감소속도가 더 빠르다는 것을 알 수 있으며, 이는 같은 조건하에서 소나무 낙엽보다 굴참나무 낙엽에서 연소현상이 빠르게 진행된다는 것을 의미한다.

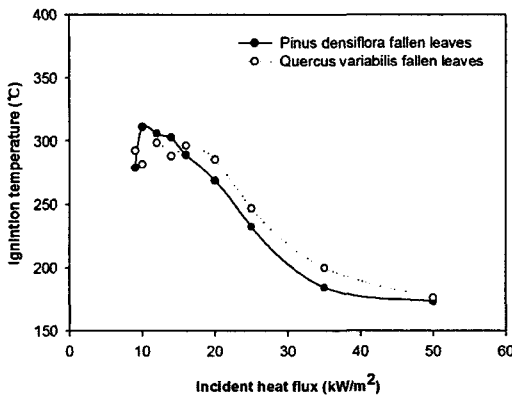


Fig. 4 외부 복사열과 점화온도와의 관계

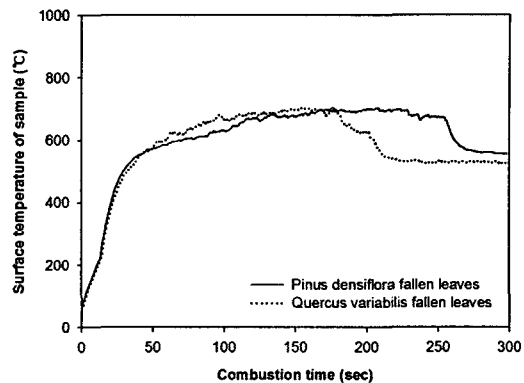


Fig. 5 연소시간의 경과에 따른 시료표면 온도의 변화[25kW/m²]

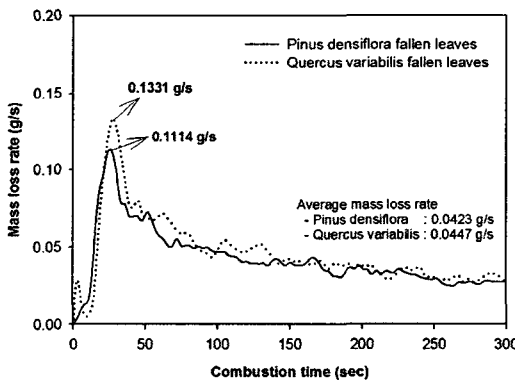


Fig. 6 연소시간의 경과에 따른 질량감소속도[25kW/m²]

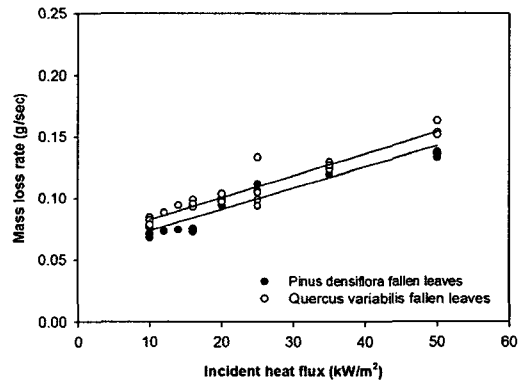


Fig. 7 외부 복사열과 최대 질량감소속도와의 관계

#### 4. 결론

소나무 낙엽과 굴참나무 낙엽을 분쇄 후 연소열량과 연소특성을 평가한 결과 다음과 같은 결론을 얻었다.

1) 단위 중량당 연소열을 측정한 결과 소나무 낙엽이 굴참나무 낙엽에 비해 평균 약 450cal/g 정도 높게 나타났으며, 이로부터 산불 발생시 굴참나무가 군락을 이루고 있는 산림지역보다 소나무가 군락을 이루고 있는 산림지역에서 더 산불의 위험성 및 피해의 정도가 높다는 것을 예측할 수 있었다.

2) 외부 복사열원이 임계열속에 가까워질수록 점화시간이 무한대로 접근하고 외부 복사열원이 무한이 커질 경우 0으로 접근함을 알 수 있었으며, 소나무 낙엽과 굴참나무 낙엽의 시료에서 외부 복사열원이  $9\text{ kW/m}^2$  미만에서는 점화가 발생하지 않았다.

3) 외부 복사열원이 증가함에 따라 점화온도가 낮아짐을 알 수 있으나, 외부 복사열원이  $9\text{kW/m}^2$ 일 때는 점화온도가 낮아진 현상을 관찰할 수 있다.

4) 연소시간 동안 표면온도는 활엽수종인 굴참나무에 비해 침엽수종인 소나무 낙엽이 더 오랜 시간동안 고온을 유지함을 알 수 있다. 이는 소나무가 밀집되어 있는 곳에서 발생한 산불의 온도와 그 지속시간이 굴참나무가 밀집되어 있는 곳에서 보다 더 길어질 수 있다는 것을 예측할 수 있었다.

5) 질량감소속도를 측정한 결과 활엽수종인 굴참나무 낙엽에서 최대질량감소속도와 평균질량감소속도가 더 빠르다는 것을 알 수 있었으며, 이는 같은 조건하에서 소나무 낙엽보다 굴참나무 낙엽에서 연소현상이 빠르게 진행된다는 것을 의미한다.

## 5. 참고문헌

1. 박형주, 김홍, 하동명, “적분모델을 이용한 난연처리된 Douglas fir의 화재특성 예측”, 한국안전학회지, Vol. 20, No. 3, pp. 98~104, 2005.
2. 박형주, 김홍, “일정한 복사열원에 노출된 목재의 탄화속도에 관한 연구”, 한국화재 소방학회지, Vol. 18, No. 4, pp. 86~92, 2004
3. 김동현, 이명보, 강영호, 이시영, “지표물질 착화성 실험을 통한 발화위험성 분석”, 한국방재학회 춘계학술발표논문지, 2006.
4. 김동현, 김태구, 김광일, “산림화재 종합위험등급화에 관한 연구”, 한국화재소방학회지, Vol. 15, No. 3, pp. 49~54, 2001.
5. 채희문, 이찬용, “산불 확산에 영향을 미치는 임지내 산림연료와 경사도에 관한 연구”, 한국농림기상학회지, Vol. 5, No. 3, pp. 179~184, 2003.
6. 김관수, 장인수, 박기돈, “가열 온도에 의한 소나무와 잣나무 생엽과 생지의 연소 온도변화”, Natural Science(Taejon University), Vol. 6, pp. 99~106, 1995.
7. 박형주, 김홍, 강영구, “난연처리된 목재의 연소특성에 관한 연구” 목재공학회지, Vol. 33, No. 4, pp. 39~44, 2005.
8. J. L. Dupuy, "Fire from a cylindrical forest fuel burner : combustion dynamics and flame properties", combustion and flame, pp. 65~76, 2003.